#### Journal of Northwest A & F University (Nat. Sci. Ed.)

# 黄土丘陵区小流域表层土壤的有机碳密度 及其空间分布

王小利1,2,3,段建军2,3,郭胜利1,2

(1 西北农林科技大学 资源环境学院,陕西 杨凌 712100;2 中国科学院 水利部 水土保持研究所,陕西 杨凌 712100;3 贵州大学 生命科学学院,贵州 贵阳 550025)

[摘 要] 通过野外调查和室内分析,采用多元线性逐步回归和地理信息系统 (GIS) 相结合的方法,研究了黄土丘陵区燕沟流域表层  $(0\sim20~cm)$  土壤的有机碳密度、空间分布及其与土地利用类型和地形因子等的关系。结果表明,流域表层土壤有机碳密度平均为  $1.72~kg/~m^2$ ,变幅为  $0.97\sim2.93~kg/~m^2$ ;土地利用类型是影响土壤有机碳密度变化的首要因子;流域土壤有机碳密度呈镶嵌的树枝状和条带状空间分布格局,其高值斑块区与乔木林地和灌木林地的分布一致,中值斑块区与草地和川坝地的分布一致,低值斑块区与梯田、果园、坡耕地、疏林地和未成林地的分布一致。流域表层土壤有机碳总储量为  $76.81~x10^3~t$ 。

[关键词] 黄土丘陵区;土壤有机碳密度;燕沟流域

[中图分类号] S153.6+2

[文献标识码] A

[文章编号] 1671-9387(2007)10-0098-05

# Organic carbon density of top soil and its spatial distribution of small watershed in hilly region of loess plateau

WANG Xiao-li<sup>1,2,3</sup>, DUAN Jian-jun<sup>2,3</sup>, GUO Sheng-li<sup>1,2</sup>

(1 College of Resources & Environment, Northwest A & F University, Yangling, Shaanxi 712100, China;
2 Institute of Soil and Water Conservation, Chinese Academy of Sciences and Ministry of Water Resource, Yangling,
Shaanxi 712100, China; 3 College of Life Sciences, Guizhou University, Guiyang, Guizhou 550025, China)

**Abstract:** Based on field survey and laboratory analysis ,by using multi - linear stepwise regression and geographic information system (GIS) ,the paper studied the spatial distribution of surface soil (0 - 20 cm) , organic C density in the Yangou watershed of loess hilly-gully region and its relationships with land use , landform ,and so on. The results showed that the surface soil organic C density ranged from 0. 97 ~ 2.93 kg/  $m^2$  ,with an average about 1.72 kg/  $m^2$  in the watershed; the most important influential factor of soil organic C density was land use; the spatial distribution map of soil organic C density showed apparent arborization and strip. The "hot spots "of high soil organic C density were consistent with the distributions of arbor and bush land ,those of low soil organic C density were consistent with the distributions of the terrace , orchard ,slope farmland ,sparse woodland and new woodland and those of middle soil organic C density were consistent with the distributions of the grassland and plain land. The total soil organic C storage of top soil in the watershed was about 76.81  $\times 10^3$  t.

Key words: hilly region of loess plateau; soil organic carbon density; Yangou watershed

\*[收稿日期] 2006-05-23

[基金项目] 中国科学院西部之光项目;中国科学院水土保持研究所领域前沿项目

[作者简介] 王小利(1979-),女,山西柳林人,副教授,博士,主要从事区域土壤养分循环与优化管理研究。

[通讯作者] 郭胜利(1969 - ),男,河北栾城人,副研究员,博士,主要从事土壤养分与生态研究。 [B mail:slguo @ms.iswc.ac.cn

土壤有机碳的空间分布是研究土壤生产力、土壤水文特性和以碳为基础的温室气体收支平衡的基础资料[1]。从全球和区域尺度上的研究结果来看,土壤有机碳储量和分布的估算结果往往存在较大的差异。例如,全球陆地生态系统 1 m 土层有机碳的储量估算值为 1 115~2 293 Pg<sup>[2-4]</sup>,对我国陆地生态系统土壤有机碳储量的估算值为 50~186 Pg<sup>[5-7]</sup>。土壤是一个不均一、具有高度空间异质性的复合体。土壤有机碳的含量与分布受气候、植被、母质、地形、土地利用方式等多种因子的影响。揭示局域尺度上土壤有机碳空间分布及其影响因素,有助于提高大尺度上估计的精确性。

西北黄土高原地区,水土流失严重,地形破碎, 土地利用类型复杂多样。黄土高原的区域治理以小 流域为单元而进行,小流域内土壤有机碳的空间变 异受所在区域的气候、土壤母质、植被类型影响。除 此之外,地形和土地利用方式也是影响小流域土壤 有机碳空间变异的重要因素。20世纪90年代以 来,黄土高原地区进行了大规模的基本农田建设、退 耕还林(果)还草以及封山育林等综合治理。小流域 的地形和土地利用方式发生了显著变化,但对小流 域尺度土壤有机碳空间分布格局研究较少。本文以 蒸沟小流域为对象,研究了小流域尺度土壤有机碳 的储量和空间变化及其影响因素。

# 1 研究区概况

研究的小流域为延安市燕沟流域(362800~ 36 32 00 N,109 20 00 ~ 109 35 00 E),总面积约 47 km<sup>2</sup>,海拔 986~1 425 m,以梁峁地貌为主,沟壑 密度为 4.8 km/km²,属典型黄土丘陵区。研究区气 候为暖温带半湿润向半干旱过渡的类型,年平均气 ,多年平均降雨量约558 mm。土壤为半熟 化状态的黄绵土,肥力较低。植被类型多样,所处区 域属暖温带阔叶林向温带草原过渡地带。人工植被 主要树、草种为:刺槐(Robinia pseudoacacia)、山杨 (Pobulus davidiana)、油松(Pinus tabulaeformis), 柠条 (Caragana Korshinskii), 沙棘 (Hippophae rhamnoides),紫花苜蓿(Medi cago sativa L)和沙 打旺(erectmilkvetch)等;天然植被主要树、草种为: 辽东栎 (Queccus liaotungensis)、白桦 (Betula platyphylla)、黄刺致(Rosa xanthina)、狼牙刺(S. viciif dia)、长芒草(Stipa bungeana) 和铁杆蒿 (Artemisia gmelinii)等[8]。流域内土地利用类型 包括川坝地、梯田、坡耕地、果园、乔木林地、灌木林

地、疏林地、未成林地和草地等(图 1)。治理前(1997年以前)流域水土流失面积  $42.55~\mathrm{km}^2$ ,占总面积的 88.65%,土壤侵蚀模数为  $9~000~\mathrm{t/(km}^2~\cdot$ 年),属强度 水土流失地区 $^{191}$ 。

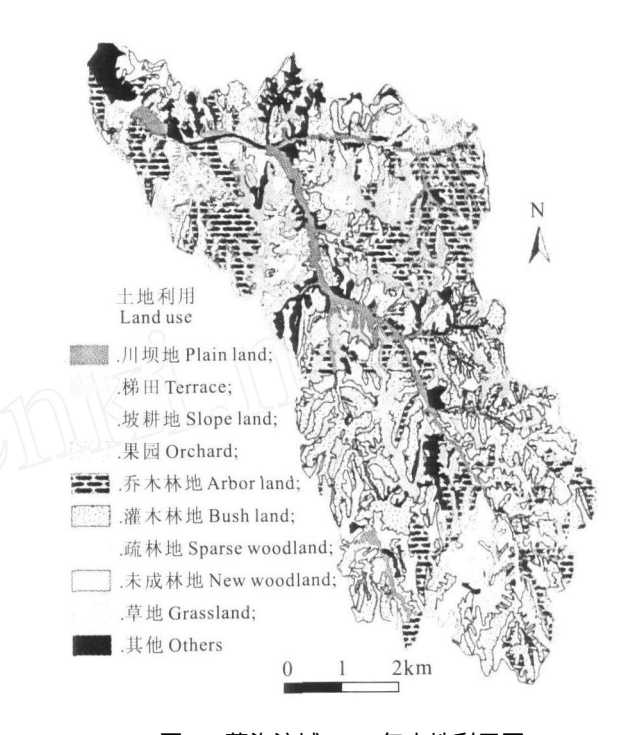


图 1 燕沟流域 2003 年土地利用图

Fig. 1 Land use map of Yangou watershed in 2003

# 2 研究方法

#### 2.1 土壤样品的采集与分析

根据研究区在气候和植被上的过渡性特征,于2005-05 在流域尺度上选取不同气候和植被的 3 个典型区域:樱桃沟和九沟支流域(上游)、康家圪崂支流域(中游)、吴枣园和赵庄(下游)进行试验。于各区域选取地形和地貌近似的治理坡段,采集不同土地利用类型的表层(0~20 cm)土壤样品,共计 168个。各点以 GPS 定位,植被群落调查采用陆地生物群落典型样方调查方法[10]进行。土壤有机碳含量的测定采用重铬酸钾外加热氧化法[11]。将采样点的定位数据导入 GIS 软件中,经 ArcInfo 投影转换(投影类型为阿尔伯斯投影,中央子午线为109 26 15.00),生成以米(m)为单位的平面坐标,最后生成样点分布图(图 2)。

#### 2.2 土壤有机碳密度和储量估算

2.2.1 土壤有机碳多元线性回归方程的建立 以不同土地利用方式和坡向的土壤平均有机碳含量作为其编码值,将字符型变量(土地利用类型和坡向)转换为数值型变量(表 1)。以土地利用类型、坡度、坡向、

高程和投影转换后的经、纬度为自变量,土壤有机碳含量为应变量,利用 SPSS13.0 软件统计分析并建立 其多元线性回归模型(变量进入方程的条件是回归系数的显著性水平 P < 0.05,剔除的条件是 P > 0.10)。

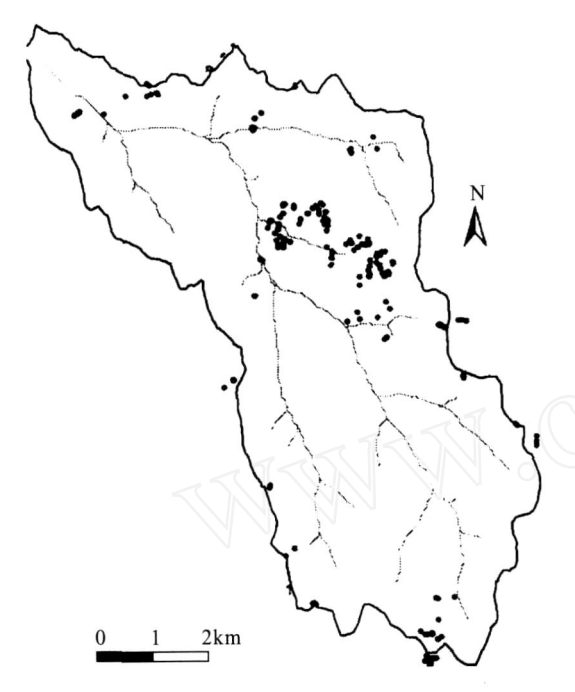


图 2 燕沟流域 0~20 cm 表层土壤样点的分布

Fig. 2 Sample points of soil in Yangou watershed

2.2.2 土壤有机碳密度和储量的计算 燕沟流域 不同土地利用方式下,0~20 cm 表层土壤有机碳密度和储量的计算公式为:

$$C_i = d_i \times_i \times O_i, \qquad (1)$$

$$S_i = A_i \times C_i \tag{2}$$

式中:i 为第i 个土地利用类型.本研究中 i = 9:  $C_i$ 为土壤有机碳密度:  $d_i$  为土层厚度, 本研究中  $d_i$  = 20 cm: , 为平均土壤容重, 本研究中 , 取黄绵土的 平均容重 1.19 g/cm<sup>3[12]</sup>; O<sub>i</sub> 为土壤有机碳含量; S<sub>i</sub> 为土壤有机碳储量: A: 为各土地利用类型的面积。 2.2.3 土壤有机碳密度空间分布图的绘制 从流 域数字高程模型上提取信息,绘制流域的坡度图、坡 向图、经度图和纬度图。利用软件 Arc GIS 9.0 的图 层运算(Raster calculate)功能,将坡度图、经度图、 纬度图及编码(编码值 ×100)后的土地利用图和坡 向图按照建立的多元线性回归方程进行叠加运算, 运算结果自动生成流域的土壤有机碳密度空间分布 图。根据土壤有机碳含量空间分布图,对不同土地 利用类型的土壤有机碳含量进行统计,根据公式(1) 和(2)分别计算各土地利用类型的土壤有机碳密度 和储量。

表 1 燕沟流域土地利用类型和坡向的编码值

Table 1 Coding values of land use and aspect in Yangou watershed

土地利用类型和坡向 Land use	编码值 Coding value	土地利用类型和坡向 A spect	编码值 Coding value
梯田 Terrace	3.77	西南 Southwest	3.78
果园 Orchard	4.33	东南 Southeast	4.34
坡耕地 Slope land	4.42	平地 Plain	4.53
疏林地 Sparse woodland	4.91	南 South	5.84
未成林地 New woodland	5.03	东北 Northeast	7.08
草地 Grassland	6.51	西北 Northwest	7.08
川坝地 Plain land	7.45	西 West	7.33
乔木林地 Arbor land	10.88	东 East	7.37
灌木林 Bush land	11.99	北 North	10.24

# 3 结果与分析

## 3.1 燕沟流域不同土地利用类型表层土壤的有机 碳密度

流域土壤有机碳含量(y)与土地利用类型 $(x_1)$ 、坡向 $(x_2)$ 、坡度 $(x_3)$ 、高程 $(x_4)$ 、经度 $(x_5)$ 和纬度 $(x_6)$ 6个因素变量存在如下回归方程:

$$y = 2 \ 299.454 + 0.895 x_1 + 0.448 x_2 - 0.000452755 x_5 - 0.000599097 x_6$$
  
 $(R = 0.688^{**}, n = 168)$  (3)

由表 2 可知,土壤有机碳与土地利用类型、坡向、纬度极显著相关,与经度显著相关,其中土地利

用类型的影响最大,其标准化回归系数为 0.537,其余变量影响大小依次为纬度、坡向和经度,其标准化回归系数分别为 -0.313,0.192 和 -0.142。表 3 显示,燕沟流域表层土壤有机碳平均含量为 7.23 ± 3.41 g/ kg,土壤有机碳密度为  $0.97 \sim 2.93$  kg/ m²,平均值为 1.72 kg/ m²。不同土地利用类型,乔木林地和灌木林地土壤有机碳密度较高,均大于 2.40 kg/ m²;川坝地和草地土壤有机碳密度次之,分别为 1.71 和 1.53 kg/ m²;梯田、果园、坡耕地、疏林地、未成林地的土壤有机碳密度均较低,为  $0.97 \sim 1.26$  kg/ m²。

#### 表 2 燕沟流域土壤有机碳与土地利用类型、坡向、经度、纬度的相关性检验

Table 2 Test of the relations between SOC and land use, aspect, longitude, latitude in Yangou watershed

预测变量 Forecast variable	非标准化回归系数 Nonstandardized regression coefficient	标准化回归系数 Standardized regression coefficient	T <b>值</b> T value	显著性 Significance
常量 Constant	2299.454		4.385	0.000
土地利用类型 Land use	0.895	0.537	8.848	0.000 * *
坡向 Aspect	0.448	0.192	3.123	0.002 * *
经度 Longitude	- 0.000452755	- 0.142	- 2.004	0.047 *
纬度Latitude	- 0.000599097	- 0.313	- 4.393	0.000 * *

注: \*和 \* \*分别表示相关性达到显著(P<0.05)和极显著(P<0.01)水平。

Note: \*and \* \*mean significant correlations at the levels of 0.05 and 0.01, respectively.

#### 表 3 燕沟流域表层土壤有机碳的密度和含量

Table 3 Density and storage of soil organic C (0 ~ 20cm) in Yangou watershed

土地利用类型 Land use	面积/ hm² Area	面积比例/ % Area proportion	土壤有机碳含量/ (g·kg <sup>-1</sup> ) SOC	土壤有机碳密度/ (kg·m·²) C density	土壤碳储量/ (×10 <sup>3</sup> t) C storage	储量比例/ % C storage proportion
梯田 Terrace	582.00	13.0	4.09 ±1.43	0.97	5.66	7.4
果园 Orchard	666.92	14.9	4.59 ±1.62	1.09	7.29	9.5
坡耕地 Slope land	127.64	2.9	4.70 ±1.43	1.12	1.43	1.9
疏林地 Sparse woodland	338.76	7.6	5.12 ±1.18	1.22	4.13	5.4
未成林地 New woodland	471.25	10.6	5.29 ±1.72	1.26	5.93	7.7
草地 Grassland	615.02	13.8	6.41 ±1.64	1.53	9.39	12.2
川坝地 Plain land	216.03	4.8	7.18 <b>±</b> 1.63	1.71	3.69	4.8
乔木林地 Arbor land	662.54	14.8	10.37 ±1.52	2.47	16.3	21.3
灌木林地 Bush land	783.94	17.6	12.29 ±1.45	2.93	22.93	29.9
平均 * Mean			7.23 ±3.41	1.72		
合计 Sum	4 464.10	100			76.81	100

注: \*表示以面积为权重。Note: \* means taking area as weight.

表 1,3 表明,流域土壤有机碳含量呈沿梯田-果园-坡耕地-疏林地-未成林地-草地-川坝地-乔木林地-灌木林地逐渐增加的趋势;北坡(阴坡)土壤有机碳含量显著高于南坡(阳坡)。

#### 3.2 燕沟流域表层土壤有机碳密度的空间分布特征

图 2 和图 3 显示,燕沟流域土壤有机碳密度呈镶嵌的树枝状和条带状的空间分布格局,与土地利用类型有密切关系。其高值斑块区与乔木林地和灌木林地的分布一致,中值斑块区与草地和川坝地的分布一致,低值斑块区与梯田、果园、坡耕地、疏林地和未成林地的分布一致,这充分反映了土地利用类型对流域土壤有机碳的影响。从空间上看,燕沟流域南部的有机碳密度高于北部,西部略高于东部,沟道是有机碳密度的主要高值区之一。

#### 3.3 燕沟流域表层土壤有机碳储量的估算

表 3 显示,以 4 464.10 hm² 流域面积计算,燕沟流域土壤有机碳总储量约为 76.81  $\times$ 10³ t。灌木林和乔木林地的土壤有机碳储量较高,其面积分别占流域总面积的 17.6%和 14.8%,土壤有机碳储量分别占总储量的 29.9%和 21.3%。其次为草地,其面积比例为 13.8%,土壤有机碳储量比例为

12.2%。果园、未成林地、梯田、疏林地、川坝地和坡耕地的面积之和占流域总面积比例为 53.8%,而土壤有机碳储量比例仅为 36.6%。

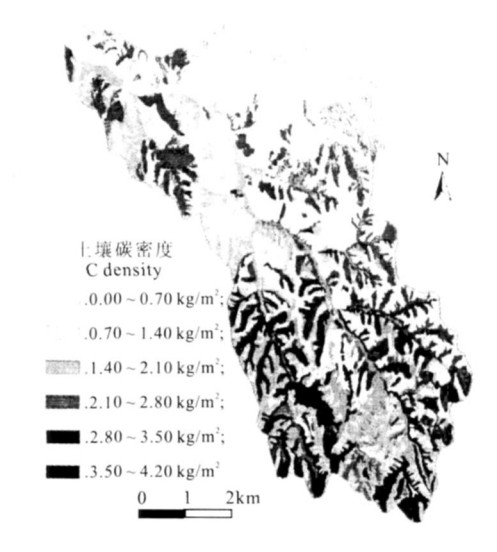


图 3 蒸沟流域 0~20 cm 表层土壤有机碳密度的空间分布 Fig. 3 Spatial distribution of SOC density (0~20 cm) in Yangou watershed

燕沟流域表层土壤有机碳密度小于平均值1.72

kg/m²的土壤面积约为 3017.62 hm²,约占总面积 的 67.6%。说明流域大部分土壤的有机碳含量低, 流域土壤碳库总储量较小。

## 4 讨论

燕沟流域土壤有机碳密度稍大干黄土高原地区 黄绵土类有机碳平均密度(1.408 kg/m²),小于黄土 高原地区平均土壤有机碳密度(2.49 kg/m²)[12]和 全国平均土壤有机碳密度 10.53(kg/m²)[7]。该流 域土壤有机碳密度存在明显的空间变异性。

土壤有机碳密度的空间分布主要与地形、土地 利用类型、植被以及人为活动等因素有关。一般地, 灌木林和乔木林分布在梁峁坡和沟谷内,地上部生 物量和新鲜有机物质的输入量很高。草地主要分布 在梁峁坡和沟谷内,草种主要包括铁杆蒿(Artemisia gmelinii)、白羊草(Bothriochloa ischaemum)、长 芒草(Stipa bungeana)等,郁闭度 30%。梯田分 布于坡度较缓的梁峁顶部,全部由坡地开垦而来。 修筑梯田时扰乱了土壤层次及作物根茬还田量低可 能是导致梯田表层土壤有机碳含量小的主要原 因[13]。与峁顶梯田相比,沟谷川坝地粘粒和水分含 量高,这有助于作物生长和有机碳的积累。果园表 层土壤有机碳密度偏低,这与刘守赞等[14]的研究结 果相一致。其原因除了与物理扰动影响有关外,还 可能与当地群众对果园施肥习惯有关(当地果园一 般采用穴施或沟施)。坡耕地属于黄土高原的低产 田之一.其土壤侵蚀量是茂密林地的  $5 \sim 10$  倍<sup>[15]</sup>, 基本没有秸秆还田和有机肥的施入,土壤有机碳积 累很慢,且易分解和侵蚀,故有机碳密度很低。

此外,土壤有机碳密度的空间分布与流域综合 治理措施的空间配置密切相关。从解放后到80年 代中期,人口增长等原因导致该流域坡耕地开荒增 加、天然次生林向南部缩减。1997年以来,燕沟流 域集中进行了以基本农田建设、退耕还林(果)还草 以及封山育林为主的综合治理,显著降低了流域输 沙模数[16]。在流域南部、中部和北部分别配置了不 同的综合治理措施,南部以涵养水源的天然次生林 为主、中部以人工水土保持植被为主、北部以农田林 果植被为主[8]。图 2 和图 3 显示,流域南部土壤有 机碳密度较高,这与其治理措施以天然次生林为主 相一致。流域中部和北部土壤有机碳密度的零星高 值斑块与人工水土保持林的分布相一致。如流域西 北部的赵庄村栽有一片 30~35 年生的刺槐林(Robinia pseudoacacia) 和小叶杨林(Pobulus simonii), 流域中部的吴枣园峁顶栽有一片约 18 年生的人工 刺槐林[17].这些区域的土壤有机碳密度明显高于周 边地区。由于流域中部的生态农业模式是以果园为 主[18],而果园受人为扰动强烈,故其表层土壤有机 碳密度相对较低。

综上所述,燕沟流域土壤有机碳密度的空间分 布主要与地形、土地利用类型、植被、流域综合治理 措施等因素的空间分布相一致。

#### 5 结 论

- (1) 燕沟流域表层土壤有机碳密度为 0.97~ 2.93 kg/m²,其平均值为1.72 kg/m²。土壤有机碳 受土地利用类型的影响最大,其余变量影响大小依 次为纬度、坡向和经度。土壤有机碳密度呈镶嵌的 树枝状和条带状的空间分布格局。
- (2) 燕沟土壤有机碳总储量为 76.81 ×103 t,表 层土壤有机碳密度小于平均值 1.72 kg/m² 的土壤 面积约占流域总面积的67.6%。
- (3) 燕沟流域土壤有机碳储量较高的是灌木林 和乔木林地,主要分布在流域南部;果园、未成林地、 疏林地、梯田、川坝地和坡耕地的土壤有机碳储量较 低。合理利用和保护现有乔木林地,防止滥垦滥伐, 增施有机肥、化肥以及秸秆还田等措施,是提高燕沟 流域土壤有机碳密度的重要措施。

致谢:感谢中国科学院水土保持与生态环境研究中心区域水土 保持与环境研究室的杨勤科研究员为本研究提供了 DEM 和土地利 用图等基础图件!

#### [参考文献]

- [1] Kern J S. Spatial patterns of soil organic carbon in the contiguous United States[J]. Soil Sci Soc Am J, 1994, 58:439-455.
- [2] Post W M, Emanuel W R, Zinke P J, et al. Soil carbon polls and world life zones[J]. Nature ,1982 ,298(8) :156-159.
- [3] Eswaren H, Van Den Berg E, Reich P. Organic carbon in soils of the world[J]. Soil Sci Soc Am J, 1993, 57:192-194.
- [4] Batjes N H. Total carbon and nitrogen in the soils of the world [J]. Eur J Soil Sci, 1996, 47:151-163.
- [5] 方精云.中国陆地生态系统的碳库[C]//温室气体浓度和排放 监测及相关过程.北京:中国环境科学出版社,1996:123-126.
- [6] 潘根兴. 中国土壤有机碳和无机碳库量的研究[J]. 科技通报, 1999,15(5):330-332.
- [7] 王绍强,周成虎,李克让,等.中国土壤有机碳库及空间分布特 征分析[J]. 地理学报,2000,55(5):533-544.

(下转第 109 页)

- 地区农业研究,1996,14(4):30-33.
- [8] 刘晓宏,郝明德,田梅霞.土壤矿质氮和可矿化氮对当季作物的 贡献[J].土壤与环境,2001,10(3):207-209.
- [9] 付会芳,张兴昌.旱地土壤氮素矿化的动力学研究[J].干旱区资源与环境,1997,11(1):53-57.
- [10] Schinner, Kandeler, Margesin, et al. Methods in Soil Biology
  [M]. Berlin: Springer-Verlag, 1995:139-141.
- [11] Campbell C A. Soil organic carbon, nitrogen and fertility
  [M]//Schnitzer M, Han S U. Soil Organic Matter. Amstardam:Elsevier,1978:174-271.
- [12] Keeney D R. Nitrogen availability indices [M]// Page A L, Miller R H, Keeney D R. Methods of Soil Analysis, part 2. 2<sup>th</sup>. Madison: Am Soc Agron & Soil Sci Soc Am, 1992:711-733
- [13] Loll M J ,Bollag J M. Protein transformation in soil[J]. Adv Agron ,1983. 36:351-381.
- [14] Waring S A ,Bremmer J M. Ammonium production in soil un-

- der waterlogged conditions as index of nitrogen availability [J]. Nature .1964:201:951-952.
- [15] 鲁如坤. 土壤农业化学分析方法[M]. 北京:中国农业科技出版社,2000:147-195.
- [16] 周建斌,李生秀.碱性过硫酸钾氧化法测定溶液中全氮含量氧化剂的选择[J].植物营养与肥料学报,1998,4(3):299-304.
- [17] Moore S, Stein W H. Photometric ninhydrin method for use in the chromatography of amino acids [J]. J Biol Chem, 1948, 176: 367-388.
- [18] Joergensen R G. Quantification of microbial biomass by determining ninhydrim reactive N[J]. Soil Biol Biochem, 1996:28: 301-306.
- [19] 贺发云,尹 斌,蔡贵信,等.菜地和旱作粮地土壤氮素矿化和 硝化作用的比较[J].土壤通报,2005,36(1):41-44.
- [20] 金雪霞,范晓晖,蔡贵信,等.菜地土壤氮素矿化和硝化作用的 特征[J].土壤通报,004,36(4):382-386.

#### (上接第102页)

- [8] 杨 光,薛智德,梁一民.陕北黄土丘陵区植被建设中的空间配置及其主要建造技术[J].水土保持研究,2000,7(2):136·139.
- [9] 徐 勇, Roy C S. 黄土丘陵区燕沟流域土地利用变化与优化调控[J]. 地理学报, 2001, 56(6):657-666.
- [10] 董鸣. 陆地生物群落调查观测与分析[M]. 北京:中国标准出版社 1996
- [11] 鲍士旦. 土壤农化分析[M]. 3 版. 北京:中国农业出版社, 2000.
- [12] 徐香兰,张科利,徐宪立,等.黄土高原地区土壤有机碳估算及 其分布规律分析[J].水土保持学报,2003,17(3):13-15.
- [13] 张成娥,王栓全,邓西平. 燕沟流域农田基础肥力分析与培肥 途径[J]. 水土保持通报,1999,19(5):16-20.

- [14] 刘守赞,郭胜利,王小利,等.植被对高原沟壑区坡地土壤有机 碳的影响[J].自然资源学报,2005,20(4):529-536.
- [15] 田均良,梁一民,刘普灵. 黄土高原丘陵区中尺度生态农业建设探索:重塑黄土地系列丛书[M]. 郑州:黄河水利出版社, 2003.
- [16] 琚形军,刘普灵,郑世清,等.燕儿沟流域泥沙监测初报[J].水 土保持研究,2000,7(2):176-178.
- [17] 薛智德、杨 光,梁一民、等. 燕儿沟人工植被营造模式与快速建设研究[J]. 水土保持研究,2000,7(2):128-132.
- [18] 刘普灵,郑世清,琚彤军,等.黄土高原燕沟流域生态环境建设模式及效益研究[J].水土保持研究,2005,12(5):88-91.